

УТВЕРЖДЕНО
приказом Федеральной службы
по экологическому,
технологическому и атомному
надзору
от «__» _____ 2014 г. № ____

РУКОВОДСТВО ПО БЕЗОПАСНОСТИ
«МЕТОДЫ ОБОСНОВАНИЯ ВЗРЫВОУСТОЙЧИВОСТИ ЗДАНИЙ И
СООРУЖЕНИЙ ПРИ ВЗРЫВАХ ТОПЛИВНО-ВОЗДУШНЫХ СМЕСЕЙ
НА ОПАСНЫХ ПРОИЗВОДСТВЕННЫХ ОБЪЕКТАХ»

I. ОБЩИЕ ПОЛОЖЕНИЯ

1. Руководство по безопасности «Методы обоснования взрывоустойчивости зданий и сооружений при взрывах топливно-воздушных смесей на опасных производственных объектах» (далее - Руководство) разработано в целях содействия соблюдению требований Федеральных норм и правил в области промышленной безопасности «Общие правила взрывобезопасности для взрывопожароопасных химических, нефтехимических и нефтеперерабатывающих производств», утвержденных приказом Ростехнадзора от 11 марта 2013 г. № 96 (зарегистрирован Минюстом России 16 апреля 2013 г., рег. № 28138) (далее - Федеральные нормы и правила в области промышленной безопасности «Общие правила взрывобезопасности для взрывопожароопасных химических, нефтехимических и нефтеперерабатывающих производств») и требований Федеральных норм и правил в области промышленной безопасности «Общие требования к обоснованию безопасности опасного производственного объекта», утвержденных приказом Ростехнадзора от 15 июля 2013 г. № 306 (зарегистрирован Минюстом России 20 августа 2013 г., рег. № 29581) (далее - Федеральные нормы и правила в области промышленной безопасности «Общие требования к обоснованию безопасности опасного производственного объекта»).

2. Настоящее Руководство содержит рекомендации к обоснованию взрывоустойчивости зданий и сооружений при взрывах топливно-воздушных смесей (ТВС), образующихся в атмосфере при промышленных авариях на опасных производственных объектах.

3. Руководство позволяет определять зоны ударно-волнового воздействия и показатели риска разрушения зданий и сооружений при авариях с взрывами облаков ТВС.

4. Руководство рекомендуется применять при обеспечении требований промышленной безопасности при проектировании, строительстве, капитальном ремонте, техническом перевооружении, реконструкции, эксплуатации, консервации и ликвидации опасных производственных объектов (ОПО), в том числе при:

- обосновании устойчивости зданий и сооружений к ударной волне в соответствии с требованиями промышленной безопасности;
- разработке декларации промышленной безопасности ОПО;
- разработке специальных технических условий на проектирование и строительство ОПО;
- иных работах, связанных с проведением количественного анализа риска аварийных взрывов.

5. Настоящий документ не распространяется на оценку опасностей внутренних взрывов в помещениях и аппаратах (химических реакторах).

6. Организации, осуществляющие работы по обоснованию взрывоустойчивости зданий и сооружений на ОПО, могут использовать иные обоснованные способы и методы, чем те, которые указаны в настоящем Руководстве, в случае, если они получили одобрение Научно-технического совета Ростехнадзора.

7. В Руководстве применяют сокращения, а также термины и определения, приведенные в приложениях № 1 и № 2 к настоящему Руководству.

II. ОБЩИЕ РЕКОМЕНДАЦИИ ПО ОБОСНОВАНИЮ ВЗРЫВОУСТОЙЧИВОСТИ

8. Общие рекомендации по обоснованию взрывоустойчивости зданий и сооружений основаны на методах:

а) моделирования и расчета аварийного истечения и распространения опасных веществ (ОВ) при всех возможных сценариях аварийной разгерметизации оборудования и воспламенении облаков топливно-воздушных смесей (ТВС);

б) расчета зон разрушения при воздействии ударной волны при аварийных взрывах ТВС;

в) расчета показателей риска взрыва ТВС, включающих оценку частоты превышения амплитуды давления на фронте падающей ударной волны для каждого (при необходимости) здания, сооружения на территории размещения ОПО;

г) применения обоснованных критериев допустимого риска разрушения зданий с учетом их типа (конструктивного исполнения).

9. Основные положения настоящего документа соответствуют требованиям:

Методических основ по проведению анализа опасностей и оценки риска аварий на опасных производственных объектах (далее Руководство по безопасности «Методические основы по проведению анализа опасностей и оценки риска аварий на опасных производственных объектах»);

Порядком оформления декларации промышленной безопасности опасных производственных объектов и перечнем включаемых в неё сведений (РД-03-14-2005), утвержденным приказом Ростехнадзора от 29 ноября 2005 года №893 (зарегистрирован Минюстом России 17 января 2006 г., рег. № 7375);

Методики оценки последствий аварийных взрывов топливно-воздушных смесей (далее Руководство по безопасности «Методика оценки последствий аварийных взрывов топливно-воздушных смесей»);

Методики моделирования распространения аварийных выбросов опасных веществ (далее Руководство по безопасности «Методика моделирования распространения аварийных выбросов опасных веществ»);

Методики оценки риска аварий на опасных производственных объектах нефтегазоперерабатывающей, нефте- и газохимической промышленности утвержденной приказом Ростехнадзора от 27.12.2013 №646 (далее Руководство по безопасности «Методика оценки риска аварий на опасных производственных объектах нефтегазоперерабатывающей, нефте- и газохимической промышленности»).

10. При оценке последствий взрывов рекомендуется учитывать основные механизмы развития взрывных явлений, таких как дрейф облака топливно-воздушных смесей (ТВС), режим взрывного превращения (дефлаграция/детонация), воздействие взрыва для зданий и сооружений в соответствии с Руководством по безопасности «Методика оценки последствий аварийных взрывов топливно-воздушных смесей».

11. Взрывоустойчивость зданий, сооружений, технических устройств или иных материальных объектов (далее — здания) характеризуется предельным давлением во фронте падающей ударной волны (УВ) $P_{пр}$, которое могут воспринять конструкции здания без потери ими несущей способности или пригодности к дальнейшей эксплуатации. Величину $P_{пр}$ для зданий рекомендуется определять проектной организации согласно расчетам выполненным при проектировании, а для сооружений и технических устройств — согласно приложению 3 к Федеральным нормам и правилам в области промышленной безопасности «Общие правила взрывобезопасности для взрывопожароопасных химических, нефтехимических и нефтеперерабатывающих производств», Руководству по безопасности «Методические основы по проведению анализа опасностей и оценки риска аварий на опасных производственных объектах» или другим нормативным или методическим документам, в том числе нормативным документам организаций,

в том числе СТО Газпром 2-2.3-400-2009 «Методика анализа риска для опасных производственных объектов газодобывающих предприятий ОАО «Газпром».

12. Рекомендуется принимать, что взрывоустойчивость здания по критерию максимально возможной взрывной нагрузки при внешнем взрыве обеспечивается, если выполняется условие, при котором здание находится вне максимального возможной зоны действия ударной волны с амплитудой давления на фронте ударной волны, превышающей проектное давление:

$$P_{пр\ k} > \max(\Delta P_{\phi\ n}), \quad (1)$$

где $P_{пр\ k}$ — предельное (проектное) давление во фронте ударной волны, на которое рассчитано k -е здание ($k = 1, 2, \dots$);

$\Delta P_{\phi\ n}$ — давление во фронте падающей на здание ударной волны;

n — номер сценария ($n = 1, 2, \dots, N$);

N — число сценариев со взрывом.

В случае невозможности выполнения условия (1) для обоснования взрывоустойчивости рекомендуется использовать результаты количественного анализа риска взрыва и вероятностный критерий, согласно которому частота разрушения здания $R_{р\ k}$ в течение года не должна превышать допустимую величину $R_{доп}$:

$$R_{р\ k} < R_{доп}, \quad (2)$$

С учетом критериев допустимого пожарного риска для производственных объектов и данных по условной вероятности гибели людей в разрушенных зданиях, приведенных в Федеральных нормах и правилах в области промышленной безопасности «Общие правила взрывобезопасности для взрывопожароопасных химических, нефтехимических и нефтеперерабатывающих производств», рекомендуемая величина допустимой частоты воздействия взрыва на здание $R_{доп}$ не должна превышать 10^{-4} год⁻¹.

12. В соответствии с приложением 3 ФНП ОПВБ расчеты зон разрушения рекомендуется проводить одним из двух методов:

1) методом оценки зон поражения, основанным на «тротиловом эквиваленте» взрыва ТВС

2) методом, учитывающим тип взрывного превращения (детонация, дефлаграция) при воспламенении ТВС.

Первый метод дает ориентировочные величины зон поражения и не учитывает учета дрейф облака ТВС. Для более точных расчетов зон разрушения рекомендуется использовать:

для расчета рассеяния и дрейфа облаков ТВС - Руководство по безопасности «Методика моделирования распространения аварийных выбросов опасных веществ»;

для расчета параметров ударной волны - Руководство по безопасности «Методика оценки последствий аварийных взрывов топливно-воздушных смесей».

Пример расчета зон разрушения приведен в приложении 3.

13. Для расчета последствий аварии с выбросом ОВ и взрывом облака ТВС в помещениях рекомендуется использовать методы вычислительной гидродинамики.

III. ОСНОВНЫЕ ПОКАЗАТЕЛИ ВЗРЫВООПАСНОСТИ

14. Для обоснования взрывоустойчивости зданий рекомендуется использовать показатели взрывоопасности, рекомендуемые для обоснования взрывоустойчивости зданий, приведенные в табл.1.

Таблица 1

Основные показатели взрывоопасности

Показатель	Характеристика
ΔP_{ϕ} — избыточное давление на фронте падающей ударной волны, Па	Параметр, определяющий воздействие (нагрузку) на здание
R — радиус зоны разрушения в результате воздействия ударной волны с избыточным давлением во	Радиус отсчитывается от центра облака ТВС в момент его инициирования (зажигания). При отсутствии данных принимают, что точка зажигания

Показатель	Характеристика
фронте ΔP_{ϕ} , м	размещена в центре облака с максимальной массой горючего во взрывоопасных пределах
L — максимальное расстояние дрейфа облака ТВС, м	Максимальное расстояние от точки выброса ОБ, на котором достигаются концентрации ТВС, при которых возможно воспламенение облака ТВС. При расчетах L определяется границей достижения нижнего концентрационного предела воспламенения $C_{\text{НКПР}}$
R_L — максимальная дальность действия УВ, м	Максимальное расстояние от источника выброса, на котором достигается разрушение при определенном ΔP_{ϕ} в результате взрыва облака ТВС, с учетом его дрейфа [16]
λ_A — частота аварии с выбросом опасного вещества, год ⁻¹	Включает сумму всех частот возможных случаев выброса опасных (горючих) веществ. Зависит от вида и количества оборудования на объекте
λ_{c_n} — частота развития аварии по сценарию C_n с возникновением взрыва, год ⁻¹	Определяется частотой воспламенения облака ТВС, в том числе пожара-вспышки. При расчете λ_{c_n} не учитываются частоты пожара пролива, огненного шара, струевого горения и аварий без воспламенения
$R_{\delta \Delta P_{\phi}}(x, y)$ — потенциальный риск разрушения здания, находящегося на территории объекта с координатами (x, y) при воздействии на него УВ с избыточным давлением ΔP_{ϕ} , год ⁻¹	Частота превышения заданного избыточного давления ΔP_{ϕ} в рассматриваемой точке территории с координатами (x, y)
$R_{p k}$ — частота разрушения определенного k -го здания при воздействии взрыва, год ⁻¹	Частота разрушения (повреждения) k -го здания с учетом типа рассматриваемого здания и $P_{\text{пр } k}$

15. Набор показателей рекомендуется определять в соответствии с целями работы, выбором методов и критериев, применяемых для обоснования взрывоустойчивости. Пример расчета максимальных зон разрушения приведен в приложении 3.

Метод количественной оценки риска взрыва, рекомендуемый для обоснования взрывоустойчивости зданий, приведен в следующем разделе.

IV. МЕТОД КОЛИЧЕСТВЕННОЙ ОЦЕНКИ РИСКА ВЗРЫВА

15. Процедура обоснования взрывоустойчивости, основанная на количественной оценке риска, учитывает:

вероятность и последствия всех возможных сценариев выброса опасных (горючих) веществ (ОВ), приводящих к взрыву и воздействию избыточного давления УВ на здания;

тип зданий (устойчивость к УВ);

допустимую частоту $R_{\text{доп}}$ воздействия взрыва, приводящего к нарушению устойчивости (повреждения, разрушения) здания.

вероятностный критерий взрывоустойчивости здания - выполнение условия (2).

Основные этапы оценки риска взрыва для обоснования взрывоустойчивости зданий и сооружений отображены на блок-схеме (Рис. 1).

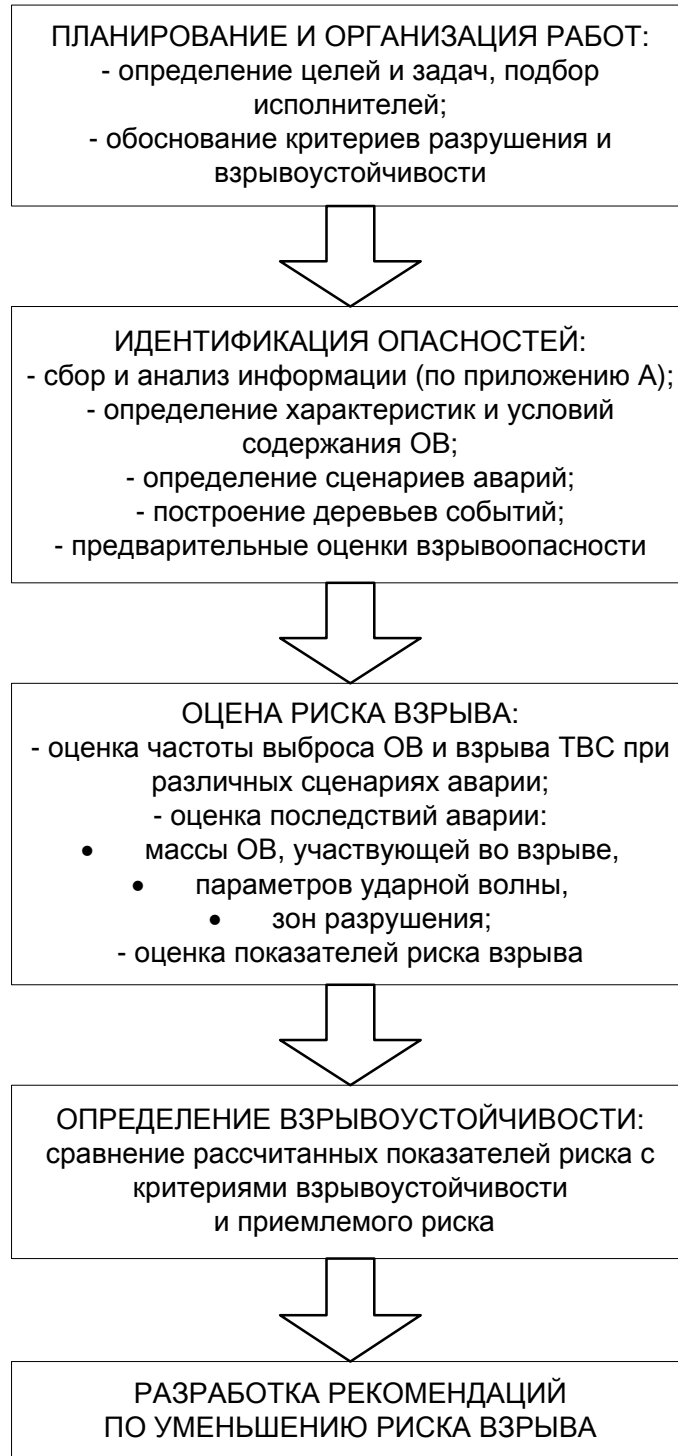


Рис. 1. Основные этапы оценки риска взрыва

Содержание этапов описано в следующих разделах.

16. Планирование и организация работ осуществляется в соответствии с разделом IV Руководства по безопасности «Методические основы по проведению анализа опасностей и оценки риска аварий на опасных производственных объектах» и требованиями заказчика. Для проведения работ

рекомендуется привлекать специалистов, аттестованных в области промышленной безопасности и имеющих опыт экспертизы декларации промышленной безопасности опасных производственных объектов.

17. При идентификации опасностей рекомендуется использовать следующие закономерности возникновения и развития аварий с выбросом ОВ.

17.1. Возникновение и развитие аварии обусловлено свойствами опасных веществ, условиями его содержания и характером выброса опасных веществ, объемом веществ, окружающими условиями и своевременностью мер по локализации аварии. Следует также учитывать возможность каскадного развития аварий, различные стадии которой могут быть не связаны со взрывом, в соответствии с Руководством по безопасности «Методические основы по проведению анализа опасностей и оценки риска аварий на опасных производственных объектах».

Условно можно выделить два типа аварий, которые могут существенно отличаться вероятностями их возникновения:

- аварии с полным разрушением оборудования, содержащего сжиженный газ или газ под давлением;
- аварии, связанные с неполным разрушением оборудования, т.е. с истечением вещества через образовавшееся дефектное отверстие.

Из аварий первого типа наиболее часто встречающиеся - это разрывы сосудов, содержащих газ под давлением. Также часто из аварий первого типа встречаются разрушения сосудов, содержащих жидкие углеводороды или сжиженные газы. Такие разрывы происходят обычно под действием внешнего нагрева емкости в результате пожара, например, пролитого горючего. В этом случае авария может пойти по сценарию с образованием «огненного» шара (в зарубежных источниках такой сценарий обычно обозначается BLEVE - вскипание паров кипящей, перегретой жидкости) или газового взрыва. Условная вероятность образования «огненного» шара (т.е. вероятность его возникновения при попадании емкости в пожар) определяется на основе статистических данных, а при их отсутствии может приниматься равной 0,7.

Второй тип аварии - истечение вещества через образовавшееся отверстие – наиболее вероятный. Он включает в себя и разрывы трубопроводов, и истечение через неисправные вентили, и потери герметичности в результате внешнего воздействия, коррозии или превышения эксплуатационных норм. Многообразие сценариев определяется различием физических явлений для различного фазового состояния истекающего вещества. Анализ аварий показывает, что примерно в 90% аварий на трубопроводах происходит путем истечения вещества через отверстие, трещины и в 10% - путем полного разрыва (на полное сечение) или образованием протяженной трещины. Так, при выбросе горючей жидкости из резервуара при наличии источника воспламенения, возможно ее мгновенное воспламенение (в том числе с образованием горячей струи) или воспламенение после образования разлитой лужи горючего вещества («пожар пролива»). В этом случае вероятностью барического воздействия на здания вне струи можно пренебречь.

16.2. Рекомендуется рассматривать следующие основные факторы и причины возникновения аварий с выбросом и образованием ТВС:

- изменение гидравлического сопротивления рабочих каналов (секций) технологического оборудования или соединительных трубопроводов, например, вследствие гидратообразования, парафино и солеотложений, пенообразования газожидкостных потоков или залповых выбросов жидкости;
- полная закупорка трубопроводов и арматуры ледяными и кристаллогидратными пробками;
- эрозионный или коррозионный износ стенок проточной части оборудования, трубопроводов;
- нарушение технологического режима работы оборудования, например, неоправданное изменение термобарических параметров эксплуатации;
- дефекты изготовления или монтажа оборудования;

- наличие значительного числа переходов подземных трубопроводов в надземные, являющихся местами повышенной коррозионной активности и концентрации напряжений;

- наличие большого числа арматуры, тройников, переходников, фасонных частей и т.п., т.е. мест с усложненной технологией проведения строительного-монтажных работ, ухудшенным контролем качества сварных швов, повышенной концентрацией напряжений;

- сложная пространственная стержневая конструкция надземных трубопроводов;

- обвязки технологических аппаратов с большим числом жестких и скользящих опор, испытывающая значительные переменные температурные и газодинамические нагрузки;

- ошибки на стадии проектных решений;

- недостаточно качественный диагностический контроль и несвоевременное выполнение ремонтных работ по обеспечению герметичности трубопроводов, сосудов, аппаратов;

- ошибки персонала при выполнении регламентных или ремонтных работ;

- ошибочные действия операторов на стадиях пуска или аварийной остановки технологических линий;

- вандализм, диверсии и пр.

- случайное повреждение оборудования транспортными средствами или летательными аппаратами;

- недостатки в организации систематической работы по обучению и проверке знаний персонала по ТБ со стороны эксплуатирующей организации.

Анализ сценариев возникновения аварийных ситуаций и оценку вероятности аварий, обусловленных указанными факторами и причинами, рекомендуется проводить с помощью методов деревьев отказов.

16.3. В качестве основных источников выброса опасных веществ и образования ТВС рекомендуется рассматривать в том числе следующие технических устройства и сооружения:

а) сепарационное и емкостное оборудование:

- нарушение герметичности оборудования вследствие его коррозии, эрозии, износа уплотнительных элементов фланцевых соединений;
- забивание твердыми частицами фильтрующих или сепарационных элементов, приводящее к увеличению гидравлического сопротивления соответствующих секций и нарушению гидрозатвора в системе слива отсепарированной жидкости,
- чрезмерное (бесконтрольное) увеличение гидравлического сопротивления отдельных секций аппаратов, приводящее к их деформации и поломке;
- нарушение крепления внутренних перегородок аппаратов вследствие отсутствия контровки крепежных соединений;
- нарушение работоспособности предохранительных клапанов, деформация и обрыв патрубков их крепления;
- отказ средств контроля и регулирования;

б) теплообменное оборудование:

- парафино- и солеотложения в трубном (межтрубном) пространствах, отложения кристаллогидратов и льда в рабочих полостях и каналах, приводящие к снижению проходного сечения или закупорке каналов;
- нарушение герметичности фланцевых соединений вследствие износа уплотнительных прокладок или коррозии фланцев;
- нерасчетное изменение угла наклона лопастей вентилятора АВО;

в) турбодетандерные агрегаты (ТДА):

- дефекты изготовления и сборки, не выявленные в процессе испытаний;

- ошибки эксплуатационного персонала: несоблюдение регламента на эксплуатацию ТДА при пусках, остановках или переключениях оборудования, несвоевременное реагирование на нерасчетные отклонения в режиме работы;

- усиливающаяся или внезапная вибрация агрегата, причинами которой могут быть:

- резонансные колебания деталей ротора;
- солеотложения и усталостные разрушения деталей;
- нарушение контроля крепёжных соединений;
- неравномерные по окружности зазоры в уплотнениях и подшипниках;
- деформация фундаментных оснований при растеплении грунта;
- дисбаланс ротора вследствие эрозионного износа деталей ротора и уплотнений;

г) насосно-компрессорное оборудование:

- износ манжетных уплотнений и штоков дозирующих насосов вследствие загрязнения мехпримесями перекачиваемой жидкости;
- износ торцевых уплотнений и рабочих колес, приводящие к потере герметичности и вибрации ротора;
- износ или разрушение уплотнения диска колеса центробежного насоса;
- пробой изоляции обмоток электродвигателя;
- усталостное разрушение сепараторов подшипников качения;
- износ упругих элементов соединительных муфт;

д) печи огневой регенерации:

- солеотложения и коррозия поверхностей змеевиков, приводящие к прожогам;

е) запорная и регулирующая арматура:

- коррозия и эрозия уплотнительной пары клиновых задвижек, приводящие к потере их герметичности;

- эрозионный износ седел и конусов регулирующих клапанов вследствие наличия в рабочих потоках твердых примесей;
- износ деталей сальникового уплотнения штока регулирующих клапанов;
- разрыв мембраны пневмоприводных регулирующих клапанов;
- потеря упругости или разрушение пружин пневмоприводных регулирующих клапанов и предохранительных клапанов;
- отказы электромеханических клиновых задвижек вследствие люфтов в зубчатой передаче редуктора, износа подшипников, кулачков и уплотняющих поверхностей.

В качестве основных причин аварий с разгерметизацией и возгоранием в зданиях производственных цехов с размещенными в них блоками сепарационного и емкостного оборудования рекомендуется рассматривать:

- неисправность или отсутствие предохранительных устройств;
- ошибки персонала;
- утечки газа или газового конденсата по местам уплотнения регуляторов расхода, фланцевым соединениям арматуры на линиях обвязки регуляторов расхода или датчиков измерения уровня жидкости;
- утечки газа или газового конденсата при проведении ремонтных работ, например, при замене негерметичных задвижек и кранов;
- коррозия и эрозия стенок трубопроводов и аппаратов вследствие наличия в газе твердых и жидких примесей.

16.4. При определении сценариев аварии рекомендуется определить возможные физические проявления аварий на различных опасных составляющих, технологических блоках, единицах оборудования, участках трубопроводов, содержащих ОБ) ОПО, а затем на основе их анализа выявить наиболее характерные пути развития аварий и сформировать расчетные сценарии.

Возможные физические проявления аварий на составляющих ОПО, определяются, прежде всего, взрыво- и(или) пожароопасностью обрабатываемых

ОВ. С учетом этого, основными физическими проявлениями аварий и сопровождающими их поражающими факторами на ОПО являются следующие:

- разрыв технологического трубопровода или разрушение емкости, аппарата, установки с газом (жидкостью) под давлением с выбросом (истечением) и воспламенением газа и образованием струевых пламен или колонного пожара с распространением вблизи места аварии поражающих факторов:

- осколков (фрагментов трубы);
- воздушной волны сжатия, образующейся в начальные моменты истечения сжатого газа в атмосферу;

- скоростного напора струи газа, прямого воздействия пламени, теплового излучения от пламени;

- разрыв технологического газопровода или разрушение емкости, аппарата, установки истечением природного газа в атмосферу, его рассеиванием, образованием зоны загазованности и последующим задержанным воспламенением и дефлаграционным сгоранием газовой смеси;

- утечка газа (жидкости) внутри производственного помещения с образованием взрывоопасной газовой смеси, воспламенением смеси и ее взрывное превращение по дефлаграционному типу с образованием волны сжатия и пожара колонного типа в загроможденном пространстве;

- взрыв ТВС в емкостях с газовым конденсатом, метанолом, дизельным топливом, бензином с последующим разливом и воспламенением горючих жидкостей и горением в виде пожара разлива с распространением вблизи места аварии поражающих факторов:

- осколков емкостей, воздушной волны сжатия, прямого воздействия пламени и теплового;

- излучения от пламени;

- утечка горючей термодинамически стабильной жидкости (стабильного газового конденсата, дизельного топлива, турбинного масла,

бензина, метанола) из емкости, резервуара, технологического трубопровода с образованием лужи разлива и испарением жидкости с поверхности разлива; воспламенение паров жидкости от какого-либо источника зажигания, находящегося вблизи лужи разлива с возникновением воздушной волны сжатия, образующейся при взрывном сгорании смеси, прямого воздействия пламени при сгорании облака ТВС и теплового излучения от пламени пожара разлива;

- утечка термодинамически нестабильной жидкости (газового конденсата, хладагента (пропана, пропан-бутана и др.) из технологического трубопровода, емкости, резервуара, насоса с образованием лужи разлива с интенсивным испарением легких фракций с поверхности разлива с образованием, рассеиванием и переносом паров продукта (тяжелее воздуха) вблизи поверхности земли по направлению ветра; воспламенение взрывопожароопасного облака от источника зажигания (автомобиля с работающим двигателем, неисправного электрооборудования или открытого источника огня) как на территории промплощадки, так и вне ее с возникновением воздушной волны сжатия, образующейся при сгорании топливо-воздушной смеси, прямого воздействия пламени при сгорании облака ТВС и от пожара разлива, теплового излучения от пламени пожара разлива.

Основные факторы, определяющие сценарии аварий на ОПО, приведены в табл.2.

Таблица 2

Факторы, определяющие сценарии развития и последствий аварии

№	Фактор	Характер влияния
1	Диаметр эквивалентного отверстия истечения	Определяет интенсивность аварийного истечения ОВ
2	Компонентный состав ОВ	Определяет интенсивность истечения и испарения продукта, объем пролива
3	Время от момента разгерметизации до перекрытия аварийной секции	Влияет на продолжительность аварийного истечения и массу выброса ОВ
4	Давление в трубопроводе до	Влияет на интенсивность истечения ОВ

№	Фактор	Характер влияния
	аварии в месте разрыва	
5	Размеры (площадь) лужи разлития жидкости	Определяет интегральную интенсивность испарения жидкости, задает форму и геометрические размеры пламени пожара.
6	Температура грунта	Влияют на интенсивность испарения разлитой жидкости
7	Проницаемость грунта	
8	Скорость ветра	
9	Температура воздуха	
10	Метеорологические факторы: скорость и направление ветра; класс стабильности атмосферы; влажность воздуха	Влияют на особенности рассеивания и переноса паров в атмосфере, размеры облака; задают угол и направление наклона пламени при пожаре разлития (влажность воздуха определяет проницаемость атмосферы для тепловой радиации)
11	Шероховатость поверхности в районе места разрыва	Влияет на особенности переноса и рассеивания облака тяжелого газа
12	Распределение источников зажигания по территории, прилегающей к месту разрыва	Влияет на вероятность и момент воспламенения парового облака и, следовательно, на размеры зоны прямого огневого и барического воздействия
13	Ландшафтные (загроможденность пространства) и топографические условия в месте разрыва	Влияют на скорость (режим) сгорания паров и вероятность реализации дефлаграционного или близкого к детонационному режима сгорания облака тяжелого газа
14	Плотность промышленной и жилой застройки на прилегающих территориях	Определяют степень загроможденности, ограниченности пространства и тем самым влияют на скорость распространения фронта пламени и вероятность реализации дефлаграционного или детонационного режима сгорания облака
15	Распределение по территории вблизи места разрыва других опасных объектов	Влияет на вероятность реализации каскадного развития аварии
16	Степень оперативности действий персонала и аварийных служб по локализации аварии и зон их негативного воздействия	Влияют на развитие сценариев аварии, массу выброса ОВ и размеры зон поражения

16.5. Процедуру формирования расчетных сценариев для каждой заранее выделенной составляющей на объекте рекомендуется выполнять с

использованием метода построения деревьев событий согласно Руководству по безопасности «Методические основы по проведению анализа опасностей и оценки риска аварий на опасных производственных объектах» и Руководство по безопасности «Методика оценки риска аварий на опасных производственных объектах нефтегазоперерабатывающей, нефте- и газохимической промышленности». Исходным событием каждого дерева должно быть событие А – разгерметизация (разрыв) элемента (единицы оборудования) опасной составляющей (для технологических трубопроводов – m -го участка), которое (т.е. событие А) может иметь дальнейшее развитие в зависимости от типа рассматриваемой составляющей групп сценариев. При этом каждый узел (разветвление) дерева событий должен отражать «вмешательство» в ход событий одного из учитываемых влияющих («задающих») факторов, указанных выше. После учета при построении дерева всех заранее заданных влияющих факторов получившееся на выходе дерева общее число конечных ветвей соответствует общему числу $I*J$ расчетных сценариев аварии на m -м элементе n -ой составляющей, образующих полную группу несовместных событий.

18. Оценка риска взрыва включает оценку последствий различных сценариев аварий с выбросом опасных веществ, включая оценку массы ОВ, и расчет показателей риска разрушения зданий при взрыве ТВС (Рис. 1).



Рис. 2 – Алгоритм оценки риска взрыва

18.1. Исходные данные по частотам выброса ОВ при разгерметизации оборудования, условной вероятности воспламенения ТВС приведены в Руководстве по безопасности «Методические основы по проведению анализа опасностей и оценки риска аварий на опасных производственных объектах».

18.2. Для оценки последствий взрывных процессов рекомендуется учитывать не только его тип (горение/детонация) и массу топлива во взрывоопасных пределах, но и расстояние дрейфа, на котором в облаке могут

сохраняться взрывоопасные концентрации. Общие схемы дрейфа облаков ТВС и параметры зон существования различных поражающих факторов представлены на рисунках (Рис. 2 - Рис. 3).

Рис. 2 соответствует ситуации дрейфа первичного и вторичного облаков при аварийном выбросе вскипающих жидкостей, в том числе сжиженного газа. Рис. 3 соответствует выбросу, образованию пролива стабильных жидкостей (нефть, бензин, дизельное топливо и т.д.), при испарении которых реально образуется только вторичное облако.

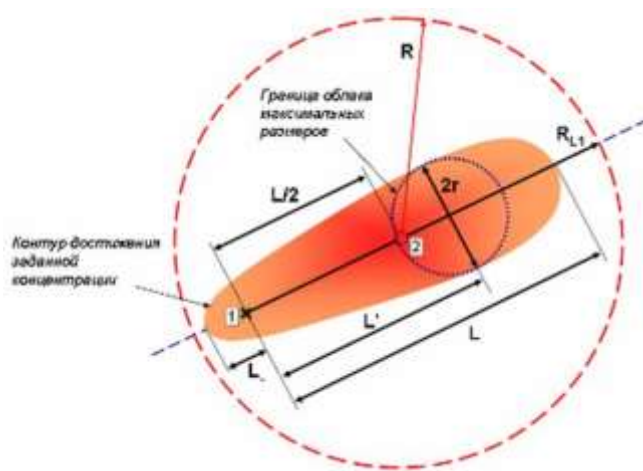


Рис. 3 - Схема распространения первичного и вторичного облаков ТВС при аварийном выбросе вскипающих жидкостей

Обозначения: 1 – источник выброса опасного вещества; 2 – источник инициирования взрывного превращения; L – максимальная дальность дрейфа облака ТВС в направлении ветра; L_1 – максимальное расстояние распространения облака ТВС в направлении против ветра; L' – расстояние от места выброса, на котором достигается максимальная ширина облака; r – полуширина облака ТВС; R – граница зоны избыточного давления при взрыве ТВС; R_{L1} – максимальный размер (от источника выброса) зоны поражения при взрыве с учетом дрейфа облака ТВС.

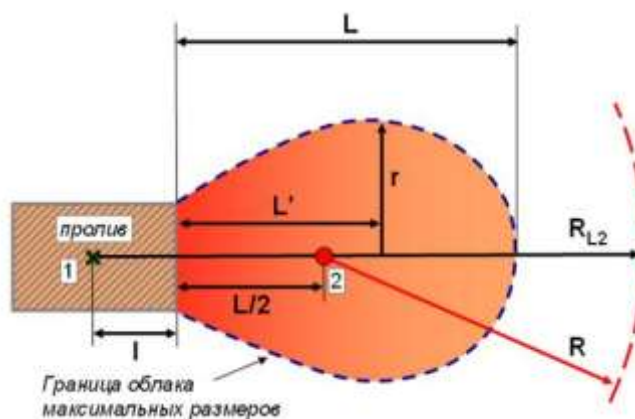


Рис. 4 - Схема распространения вторичного облака ТВС при аварийном выбросе и испарении из пролива стабильных жидкостей

Обозначения: 1 – источник выброса опасного вещества; 2 – источник инициирования ТВС; L – максимальная дальность дрейфа облака ТВС в направлении ветра; l – размер пролива в направлении ветра; L' – расстояние, на котором достигается максимальная ширина облака; r – полуширина облака ТВС; R – граница зоны избыточного давления при взрыве ТВС; R_{L2} – максимальный размер зоны поражения при взрыве с учетом дрейфа облака ТВС (от источника выброса).

18.3. При оценке количества опасных веществ, участвующих в аварии необходимо учитывать, что размеры зон поражения существенно зависят от массы выброшенного вещества (массы, участвующей в аварии) Q и массы, участвующей в создании поражающего фактора – взрыва $Q_{\text{вз}}$.

В случае аварии со взрывом в величину массы, участвующей в создании поражающего фактора входит масса вещества (горючего газа) M_r , которое непосредственно участвует во взрывном процессе и генерации волн. Эта масса газа M_r может задаваться в качестве исходного параметра или определяться исходя из условий развития аварий согласно Руководству по безопасности «Методика моделирования распространения аварийных выбросов опасных веществ».

Масса выброса Q в случае полного разрушения единицы оборудования принимается с учетом момента времени обнаружения выброса, срабатывания противоаварийной защиты и массы Q , поступивших в окружающее пространство от смежных единиц оборудования (участков), технологических блоков согласно Федеральным нормам и правилам в области промышленной безопасности «Общие правила взрывобезопасности для взрывопожароопасных химических, нефтехимических и нефтеперерабатывающих производств», Руководству по безопасности «Методика оценки последствий аварийных взрывов топливно-воздушных смесей» и Руководству по безопасности «Методика оценки риска аварий на опасных производственных объектах нефтегазоперерабатывающей, нефте- и газохимической промышленности».

Масса вещества, участвующего в аварии в случае частичного разрушения оборудования определяется путем интегрирования интенсивности выброса по времени, от момента начала выброса до момента его завершения.

Учет метеорологических факторов и времени прошедшей с начала аварии t_0 наиболее актуален для дрейфа облака в атмосфере.

При выбросе в атмосферу масса M_r будет меняться в зависимости от времени прошедшего с начала аварии t_0 , соответственно и в зависимости от расстояния от места выброса при движении выброса в поле ветра. В этом случае необходим учет метеорологических факторов, которые и будут определять M_r .

Расчет массы M_r проводится согласно Руководству по безопасности «Методика оценки последствий аварийных взрывов топливно-воздушных смесей».

18.4. Расчет параметров УВ и зон разрушения проводится согласно Методике оценки последствий аварийных взрывов ТВС.

18.5. Для расчета показателей риска взрыва рекомендуется использовать следующие соотношения.

Условные вероятности $P(C_n|A)$ реализации сценариев C_n аварии при разгерметизации n -ой с возгоранием и дрейфом облаков ТВС на рассматриваемом объекте следует рассчитывать по формуле

$$P(C_n|A) = P(G_s|A)P(U_{\psi\phi}|P(Se_v)) \times P(KY|U_{\psi\phi}Se_v)P_{\text{деф}}P(I|A), \quad (3)$$

где $P(G_s|A)$ — относительная частота реализации утечки продукта с интенсивностью G_s , находящейся в s -м из возможных диапазонов интенсивности истечения и зависящей от давления и размера отверстия разгерметизации (A — авария);

$P(U_{\psi\phi}|P(Se_v))$ — относительная частота повторяемости в году скорости ветра $U_{\psi\phi}$ в ψ -м диапазоне скоростей и ϕ -м географическом направлении (общее количество и размеры диапазонов скорости ветра, а также число учитываемых направлений ветра (румбов) задаются пользователем);

$P(Se_v)$ — относительная частота реализуемости сезона Se_v , в течение года $P(Se_v) = 1$;

$P(KY|U_{\psi\phi}Se_v)$ — относительная частота реализуемости данного класса устойчивости (КУ) атмосферы по Паскуиллу при скорости ветра в s -м диапазоне в v -й сезон Se_v ;

$P_{\text{деф}}$ — условная вероятность сгорания с образованием избыточного давления при последующем воспламенении, $P_{\text{деф}} = f_{\text{п.в}}f_{\text{дефл}}$; $f_{\text{п.в}}$ — условная вероятность отложенного воспламенения;

$f_{\text{дефл}}$ — условная вероятность взрыва;

$P(I|A)$ — условная вероятность зажигания облака (И) от источников зажигания, находящихся в пределах облака ТВС (в тех или иных ячейках расчетной области), ограниченного изолинией концентрации паров $C = C_{\text{ВКПВ}}$ и $C = C_{\text{НКПВ}}$, достигшего максимально возможного размера при заданных интенсивности истечения, метеопараметрах, сезоне.

Частоту сценария C_n при разгерметизации выбранной единицы оборудования определяют по формуле

$$\lambda_{C_n} = P(C_n | \dot{\Lambda}) \lambda_{\dot{\Lambda}}. \quad (4)$$

Относительную частоту $P(U_{\psi\phi})$ следует определять на основе статистических данных по повторяемости характерных скоростей ветра с учетом их географических направлений в течение года в районе расположения объекта как относительную частоту реализации ветров, попадающих в заданные диапазоны скоростей и направлений. Скорость ветра $U_{\psi\phi}$ ($\psi = 1, \dots, \Psi$) — общее число рассматриваемых скоростей ветра — реализуется по румбу ϕ ($\phi = 1, \dots, \Phi$), Φ — общее число румбов розы ветров, географических направлений) в течение года с $P(U_{\psi\phi}) < 1$. Как правило, $\Phi = 4; 8$ или 16 с угловым сектором соответственно $90; 45$ или $22,5^\circ$.

Относительную частоту $P(KY | U_{\psi\phi} Se_v)$ следует определять на основе статистических данных по повторяемости характерных состояний атмосферы (классы устойчивости атмосферы А, В, С, D, Е, F по Паскуиллу) в зависимости от скорости ветра и времени года (сезона) в районе расположения ОПО.

При определении риска разрушения зданий следует для каждой точки территории найти частоту реализации сценариев со взрывом $R_{\delta \Delta P_\phi}(x, y)$ при превышении заданного давления во фронте ударной волны $\Delta P_\phi(x, y) = \Delta P_\phi$ по формуле

$$R_{\delta \Delta P_\phi}(x, y) = \sum_n \lambda_{C_n} \cdot P[\Delta P_\phi(x, y) \geq \Delta P_\phi | C_n], \quad (5)$$

где $P[\Delta P_\phi(x, y) \geq \Delta P_\phi | C_n]$ — вероятность превышения в точке с координатами (x, y) давления ΔP_ϕ во фронте ударной волны при реализации сценария C_n .

Суммирование осуществляется по всем сценариям C_n .

Далее для точек (x_j, y_j) территории, в которых расположены здания и сооружения, испытывающие взрывные нагрузки строят зависимости частоты реализации избыточного давления ΔP_ϕ взрыва от ΔP_ϕ :

$$F_{x_j, y_j}(\Delta P_\phi) = R_{\delta \Delta P_\phi}(x_j, y_j). \quad (6)$$

Тогда риск разрушения k -го здания, расположенного в точке территории с координатами (x_k, y_k) , при условии, что его конструкции устойчивы ко взрыву с давлением во фронте ударной волны $P_{пр k}$:

$$R_{\delta k} = F_{x_k, y_k}(P_{\delta k}). \quad (7)$$

19. Определение взрывоустойчивости анализируемых зданий проводится путем сравнения рассчитанных показателей риска с критерием приемлемого риска согласно п. 11.

20. Рекомендации по уменьшению риска взрыва (при необходимости) разрабатываются с учетом следующих положений.

20.1. Для повышения взрывоустойчивости зданий и сооружений рекомендуется учитывать следующие направления мероприятий:

- уменьшение вероятности выбросов опасных веществ в соответствии с требованиями промышленной и пожарной безопасности (обоснование проектных решений, расчет нагрузок и воздействий, квалификация персонала, контроль и диагностирование при эксплуатации и т.д.);

- уменьшение размеров зон загазованности, включая:

- а) ограничение разлива жидкости при возможных авариях (устройство обвалования, поддонов и т.д.);

- б) обоснованный выбор материалов и устройство поверхностей (твёрдых покрытий), снижающих скорость теплоотдачи, количество испарившейся жидкости и пр.;

- в) размещение технологического оборудования на открытых этажерках и площадках и т.д.;

- уменьшение вероятности воспламенения облака ТВС, в том числе удаление источников зажигания (например, печей, факелов, электроаппаратуры) на безопасные расстояния по возможному дрейфу облака от источников выброса, применение взрывозащищенного оборудования;

- удаление зданий, сооружений на безопасные расстояния;

- укрепление зданий для повышения их устойчивости к опасным факторам взрыва.

20.2. Необходимые рекомендации по снижению риска аварии разрабатываются в форме проектных решений или планируемых мероприятий обеспечения безопасности технического и (или) организационного характера.

Меры обеспечения безопасности должны уменьшать возможность и (или) смягчать тяжесть последствий возможных аварий. К приоритетным необходимым рекомендациям по снижению риска аварии относятся меры обеспечения безопасности, направленные преимущественно на предупреждение аварии (уменьшение возможности возникновения инцидентов и аварий).

Меры по уменьшению вероятности возникновения аварийной ситуации, включают:

- а) меры по уменьшению вероятности возникновения инцидента;
- б) меры по уменьшению вероятности перерастания инцидента в аварийную ситуацию.

Меры по уменьшению тяжести последствий аварии имеют следующие приоритеты:

- а) меры, предусматриваемые при проектировании опасного объекта (например, выбор несущих конструкций, взрывозащитной преграды, запорной арматуры);
- б) меры, относящиеся к системам противоаварийной защиты и контроля (например, применение газоанализаторов);
- в) меры, касающиеся готовности эксплуатирующей организации к локализации и ликвидации последствий аварий.

Основными мероприятиями по снижению риска выбросов ОВ на стадии эксплуатации являются:

- а) проведение диагностики после завершения строительства;

- б) повышенная частота проведения диагностики, мониторинг технического состояния;
- в) применение современной системы обнаружения утечек;
- г) контроль качества, состава обращающихся веществ;
- д) повышенные требования к качеству производства СМР, включая контроль производства на заводе изготовителе, заводских испытаний, доставки, погрузки/разгрузки, складирования, хранения, монтажа, испытаний;
- е) проведение периодических испытаний на прочность и герметичность;
- и) повышение эффективности охраны;
- к) ограничение площадей возможных аварийных разливов за счет возведения инженерных сооружений (обвалования);
- л) увеличение объема контроля качества сварных стыков различными неразрушающими методами контроля.

ПРИЛОЖЕНИЕ № 1

к *Руководству по безопасности «Методы обоснования взрывоустойчивости зданий и сооружений при взрывах топливно-воздушных смесей на опасных производственных объектах», утвержденному приказом Федеральной службы по экологическому, технологическому и атомному надзору от «___»_____2014г. № _____*

Список сокращений

В настоящем документе применены следующие обозначения и сокращения:

ТВС – топливно-воздушная смесь

НКПР – нижний концентрационный предел воспламенения

ВКПР – верхний концентрационный предел воспламенения

ОПО – опасный производственный объект

ОВ – опасное вещество

УВ – ударная волна

$q_{\text{выб}}$ – интенсивность выброса

P_0 – давление в окружающей среде

P – давление в оборудовании

Γ – показатель адиабаты газовой фазы

γ – плотность газа в оборудовании

$\rho_{\text{ж}}$ – плотность жидкой фазы в оборудовании

T – температура в оборудовании

C_{ij} – сценарий развития аварии

$P(C_{ij} | A)$ – условная вероятность развития аварии по сценарию C_{ij}

$P(G_s | A)$ – частота реализации утечки продукта с интенсивностью G_s

$P(u_{\psi\phi})$ – относительная частота повторяемости в году скорости ветра $u_{\psi\phi}$

$P(Se_v)$ – относительная частота реализуемости сезона Se_v

$P(Cl | u_{\psi\phi} \cdot Se_v)$ – относительная частота реализуемости данного класса устойчивости

атмосферы по Паскуиллу

$P_{\text{деф}}$ – условная вероятность сгорания с образованием избыточного давления при последующем воспламенении

$P(I|A)$ – условная вероятность зажигания облака от хотя бы одного источника зажигания

P_{r1} – пробит-функция повреждений стен промышленных зданий

P_{r2} – пробит-функция разрушения промышленных зданий

P_{r3} – пробит-функция длительной потери управляемости у людей (состояние нокдауна);

P_{r4} – пробит-функция разрыва барабанных перепонок у людей

P_{r5} – пробит-функция отброса людей волной давления

ΔP , ΔP_{ϕ} – избыточное давление на фронте падающей ударной волны

r – радиус зоны разрушения/поражения в результате взрыва

λ_A – частота аварии

$\lambda_{c_{ij}}$ – частота аварии с возникновением взрыва

$R_{\text{рзш}}^P(x, y)$ – потенциальный риск разрушения при взрыве (частота аварии с превышением заданного давления P) в точке с координатами x, y

$k_{\text{повр}}$ – степень повреждения здания (от 0 до 1)

$R_{\text{рзш}}^k$ – частота разрушения (повреждения) определенного k -го здания при воздействии взрыва

ПРИЛОЖЕНИЕ № 2

к *Руководству по безопасности «Методы обоснования взрывоустойчивости зданий и сооружений при взрывах топливно-воздушных смесей на опасных производственных объектах», утвержденному приказом Федеральной службы по экологическому, технологическому и атомному надзору от «__» _____ 2014г. № _____*

Термины и определения

В настоящем документе применены следующие термины с соответствующими определениями:

авария: разрушение сооружений и (или) технических устройств, применяемых на опасном производственном объекте, неконтролируемые взрыв и (или) выброс опасных веществ;

анализ риска взрыва (анализ риска разрушения при взрыве): процесс идентификации опасностей взрыва при аварии и оценки риска разрушения (взрывоустойчивости) зданий;

взрыв: неконтролируемый быстропротекающий процесс выделения энергии, связанный с физическим, химическим или физико-химическим изменением состояния вещества, приводящий к резкому динамическому повышению давления или возникновению ударной волны, сопровождающийся образованием сжатых газов, способных привести к разрушительным последствиям;

взрывобезопасность: состояние производственного процесса, при котором исключается возможность взрыва, или в случае его возникновения предотвращается воздействие на людей вызываемых им опасных и вредных факторов;

взрывоустойчивость: свойство объекта выполнять свои функции при воздействии механических факторов аварийного взрыва без нарушения безопасности;

свойство оборудования, строительных конструкций, транспортных средств, энергетических систем и линий связи противостоять благодаря запасу прочности и целесообразному расположению поражающему воздействию взрыва;

взрывозащита: мероприятия, обеспечивающие защиту обслуживающего персонала, технологического оборудования, а также зданий и сооружений от опасных и вредных воздействий взрыва, основными из которых являются:

- максимальное избыточное давление $\Delta P_{\text{ф}}$;

- обрушающиеся конструкции зданий, оборудования, коммуникаций и разлетающиеся их части;
- опасные факторы пожара (открытый огонь и искры, токсичные продукты горения, дым и т.д.);

детонация: распространение взрыва по взрывчатому веществу, обусловленное прохождением ударной волны с постоянной сверхзвуковой скоростью, обеспечивающей быструю химическую реакцию;

дефлаграция: процесс дозвукового горения, при котором образуется быстро перемещающаяся зона (фронт) химических превращений. Передача энергии от зоны реакции в направлении движения фронта происходит за счет теплопередачи. Отличается от детонации, при которой зона превращений распространяется со сверхзвуковой скоростью и передача энергии происходит за счет ударного сжатия. Дефлаграция происходит при горении газо-воздушных смесей, при горении смесей типа воздух — бензин, горении порохов или пиротехнических составов;

зона воздействия взрыва (зона поражения/ разрушения): зона территориального распределения поражающего фактора взрыва вокруг места возникновения аварии, ограниченная изолинией установленного порогового значения избыточного давления, импульса, условной вероятности разрушения здания или иного параметра взрыва;

идентификация опасностей аварии: процесс выявления и признания, что опасности аварии на опасном производственном объекте существуют, и определения их характеристик;

избыточное давление на фронте ударной волны ΔP_{ϕ} : амплитуда давления на фронте падающей ударной волны (воздушной волны сжатия) P_{ϕ} , образующейся при аварийном взрыве, относительно атмосферного давления P_a без учета отражения от зданий, сооружений ($\Delta P_{\phi} = P_{\phi} - P_a$);

импульс волны давления (импульс взрыва): величина, характеризующая динамическое воздействие взрыва, в простейшем случае численно равная произведению избыточного давления продуктов взрыва на время его действия;

ударная волна: распространяющаяся со сверхзвуковой скоростью в газе, жидкости или твердом теле тонкая переходная область (фронт), в которой происходит резкое увеличение давления, плотности и температуры;

основные факторы опасности взрыва: факторы, характеризующиеся одним или несколькими параметрами: максимальным давлением и температурой взрыва, скоростью нарастания давления при взрыве, давлением во фронте ударной волны/волны сжатия, дробящими и фугасными свойствами взрывоопасной среды;

оценка риска взрыва (оценка риска разрушения при взрыве): процесс, используемый для определения вероятности (или частоты) возникновения взрыва при аварии и степени разрушения (взрывоустойчивости) зданий. Оценка риска включает анализ вероятности (или частоты), анализ последствий взрыва и их сочетания;

риск: мера опасности, характеризующая возможность возникновения негативного события (взрыва) и тяжесть его последствий;

риск взрыва: мера опасности взрыва, характеризующая возможность возникновения взрыва и степень разрушения зданий, сооружений при взрыве. Основными показателями риска разрушения взрыва при аварии на опасном производственном объекте являются:

- частота возникновения взрыва (аварии с взрывом);
- потенциальный риск разрушения при взрыве (частота превышения избыточного давления на фронте падающей ударной волны в рассматриваемой точке территории);
- частота разрушения (повреждения определенной степени) здания при воздействии ударной волны при взрыве;
- частота гибели людей в зданиях при взрыве;
- индивидуальный риск гибели человека, находящегося вне здания, при взрыве;
- индивидуальный риск гибели человека, находящегося в здании, при взрыве;
- социальный риск гибели людей при взрыве;

приемлемый (допустимый) риск взрыва: риск разрушения зданий при взрыве, уровень которого допустим и обоснован исходя из социально-экономических условий;

потенциальный риск разрушения при взрыве (потенциальный риск взрыва):

частота воздействия взрыва, связанного с действием избыточного давления на фронте падающей ударной волны выше определенного уровня ΔP_{ϕ} , на рассматриваемое здание, сооружение. Определяется зависимостью $R_{\text{рзш}}^{\Delta P_{\phi}}(x, y)$ - частоты превышения определенной величины избыточного давления на фронте ударной волны ΔP_{ϕ} , для данной точки территории с координатами (x, y) , на которой могут находиться здания, сооружения и другие материальные объекты;

Распределение потенциального риска может отображаться в виде функций, табличном виде или графически, в том числе на ситуационных планах в виде изолиний (поля или контуров риска) одинаковых значений параметров взрыва (частоты превышения

определенного давления ΔP_{ϕ} , давления ΔP_{ϕ} в каждой точке территории при заданной максимальной частоте воздействия и т.д.);

сценарий аварии: модель аварии, включающая последовательность отдельных логически связанных событий, обусловленных конкретным инициирующим (исходным) событием, приводящих к определенным опасным последствиям аварии;

ударная волна: распространяющаяся со сверхзвуковой скоростью в газе, жидкости или твердом теле тонкая переходная область (фронт), в которой происходит резкое увеличение давления, плотности и температуры;

поражающий эффект (эффект) – физическое, физико-химическое явление, проводящее в возникновению поражающий факторов аварии. Основные эффекты аварии – взрыв, огненный шар, пожар пролива, струевое горение.

поражающий фактор аварии – термическое, барическое (ударно-волновое) и иное воздействие, связанное с возникновением аварии и способное привести к ущербу.

ПРИЛОЖЕНИЕ № 3

к Руководству по безопасности «Методы обоснования взрывоустойчивости зданий и сооружений при взрывах топливно-воздушных смесей на опасных производственных объектах», утвержденному приказом Федеральной службы по экологическому, технологическому и атомному надзору от «__» _____ 2014г. № _____

Пример расчета зон разрушения при взрыве на установке

В резервуаре E2 вместимостью 5000 м³ находится пропан в газовой фазе при температуре -20 °С и давлении 2 атм. Резервуар расположен в равнинной местности. Рассматривается сценарий разрушения емкости E2 с выбросом опасного вещества. Метеоусловия: температура окружающей среды 20 °с, скорость ветра 10 м/с, класс устойчивости атмосферы – устойчивая стратификация. Требуется определить зоны поражения ударной волной при взрыве и дрейфе облака ТВС.



Рис. 3- 1. Зоны поражения ударной волной при взрыве облака ТВС

Таблица 3- 1

№	Наименование изолинии	Радиус изолинии, м	Цвет изолинии
1.	Взрыв ТВС: Пропан М=753,00 кг Поражение избыточным давлением 14 кПа	313,43	█
2.	Взрыв ТВС: Пропан М=753,00 кг Поражение избыточным давлением 28 кПа	196,79	█
3.	Взрыв ТВС: Пропан М=753,00 кг Поражение избыточным давлением 70 кПа	99,8	█

ПРИЛОЖЕНИЕ № 4

к *Руководству по безопасности «Методы обоснования взрывоустойчивости зданий и сооружений при взрывах топливно-воздушных смесей на опасных производственных объектах», утвержденному приказом Федеральной службы по экологическому, технологическому и атомному надзору от «__» _____ 2014г. № _____*

Примеры расчета показателей риска разрушения для обоснования взрывоустойчивости зданий

Представлены результаты оценки риска разрушения колонне химико-технологической установки, содержащей углеводородные компоненты для обоснования взрывоустойчивости зданий на ОПО.

В результате катастрофического разрушения (сценарий $C_{пр}$) без мгновенного загорания практически все содержимое парогазовой фазы (ПГФ) колонны переходит в облако ТВС. При этом согласно термодинамическим расчетам [Руководство по безопасности «Методика моделирования распространения аварийных выбросов опасных веществ»] температура в облаке ПГФ за счет адиабатического процесса расширения уменьшается с 42°C до $7,46^{\circ}\text{C}$, масса ПГФ составляет 24,5 т. Жидкая фаза (ЖФ) (в нормальном технологическом режиме масса равна 76,85 т при температуре 95°C) интенсивно вскипает. В ПГФ переходит 71,8% углеводородов. Состав ПГФ меняется, поскольку в пар переходят наиболее низкокипящие углеводороды (Табл. 4- 2).

Таблица 4- 2

Состав ПГФ при аварийном выбросе

Компонент	Мольная доля в ПГФ	Мольная доля в ЖФ
C_2H_6	$6.300 \cdot 10^{-3}$	$4.186 \cdot 10^{-4}$
C_3H_8	$5.305 \cdot 10^{-1}$	$1.600 \cdot 10^{-1}$
n- C_4H_{10}	$3.916 \cdot 10^{-1}$	$5.196 \cdot 10^{-1}$
n- C_5H_{12}	$7.156 \cdot 10^{-2}$	$3.200 \cdot 10^{-1}$
Температура ПГФ составляет -11°C . Масса ПГФ – 55,18 т.		

При расчете массы выброса полагалось, что аварийное реагирование на разрушение колонны происходит через 12 секунд, т.е. происходит переключение потоков на их сброс на факел. В расчетах температуру облака ТВС консервативно принимали по наиболее холодной массе ПГФ, т.е. в данном случае температура облака составляла минус 11°C .

В табл.4- 3 дана характеристика также значения скоростей утечки при частичном разрушении (сценарии С1в,н-С5в,н) и условной вероятности реализации взрыва (дефлаграции), исключая пожар-вспышку.

Таблица 4- 3

Характеристики расчетных сценариев на колонне

Сценарий	Диаметр отверстия истечения, мм	Частота разгерметизации λ_{C_n} , год ⁻¹	Скорость истечения, кг/с	$f_{не}$	$f_{дефл}$	Частота реализации взрыва, $\lambda_{C_n} * P_{деф}$ год ⁻¹
Утечка вверху колонны (паровая фаза)						
С1в	5	$2,0 \cdot 10^{-5}$	0,04	0,005	0,080	$8,00 \cdot 10^{-9}$
С2в	12,5	$0,5 \cdot 10^{-5}$	0,28	0,005	0,080	$2,00 \cdot 10^{-9}$
С3в	25	$3,1 \cdot 10^{-6}$	1,1	0,036	0,240	$2,68 \cdot 10^{-8}$
С4в	50	$1,9 \cdot 10^{-6}$	4,4	0,036	0,240	$1,64 \cdot 10^{-8}$
С5в	100	$0,85 \cdot 10^{-6}$	17,6	0,036	0,240	$7,34 \cdot 10^{-9}$
Утечка внизу колонны (жидкая фаза)						
С1н	5	$2,0 \cdot 10^{-5}$	0,5	0,005	0,080	$8,00 \cdot 10^{-9}$
С2н	12,5	$0,5 \cdot 10^{-5}$	2,7	0,036	0,240	$4,32 \cdot 10^{-8}$
С3н	25	$3,1 \cdot 10^{-6}$	10,9	0,036	0,240	$2,68 \cdot 10^{-8}$
С4н	50	$1,9 \cdot 10^{-6}$	43,8	0,036	0,240	$1,64 \cdot 10^{-8}$
С5н	100	$0,85 \cdot 10^{-6}$	175	0,176	0,600	$8,98 \cdot 10^{-8}$
Спр	Полное разрушение	$3,0 \cdot 10^{-7}$	84,90 т (масса выброса пара)	0,240	0,600	$4,32 \cdot 10^{-8}$

Частоты выброса и условные вероятности определены согласно Руководству по безопасности «Методические основы по проведению анализа опасностей и оценки риска аварий на опасных производственных объектах».

Для сценария полного разрушения С_{спр} масштабы дрейфа облака ТВС определяли для первичного облака. При дрейфе рассчитывали массу облака ТВС, способную к взрывному превращению (Рис.4- 2) с помощью программы ТОКСИ+^{Risk}. Следует отметить, что согласно расчетам облако максимальной массы, способной к взрывному превращению, образуется за первую минуту дрейфа. Далее во времени масса уменьшается. При этом условия стабильности атмосферы и скорость ветра в основном влияют на смещение центра облака ТВС от эпицентра аварии, а за распространение облака ТВС в начальные моменты времени отвечают процессы гравитационного растекания облака.

Результаты оценки для сценария $C_{пр}$ дрейфа и последствий разрушения зданий представлены ниже. Характеристики последствий рассчитывали из консервативных предположений сильнозагроможденного пространства и образования облака ТВС на поверхности земли [Руководство по безопасности «Методика оценки последствий аварийных взрывов топливно-воздушных смесей»].

Для сценариев с частичным разрушением колонны и утечек из аварийных отверстий (сценарии $C_{1в,н}$ - $C_{5в,н}$) формирование облака ТВС проходит по другому механизму. Согласно расчетам при увеличении скорости ветра, время достижения максимальной массы для взрыва уменьшается (см. рис.4- 2), как и масса. Класс устойчивости атмосферы также оказывает существенное влияние на массу облака ТВС. При переходе от инверсии к конвекции (от класса «F» к «A») масса облака ТВС уменьшается на порядок и более раз при одинаковых скоростях ветра. Результаты оценки сценария (C_1 - C_5) дрейфа представлены ниже в таблице (Табл.4- 4), где приводятся также характеристики последствий разрушения зданий и сооружений. Сценарии $C_{1н}$, $C_{1в}$ и $C_{2в}$ не рассматривались, поскольку при этих аварийных расходах взрывоопасного облака не образуется или его масса менее 1 кг.

В табл.4- 4 – табл.4- 5 представлены следующие обозначения: КУ – класс устойчивости атмосферы, U – скорость ветра м/с, L – расстояние дрейфа облака против ветра с концентрацией $C_{нкпр}$, L – максимальное расстояние дрейфа облака по ветру с концентрацией $C_{нкпр}$, $X_{см} = (L - L_0)/2$ – расстояние смещения центра облака ТВС от источника выброса, M – масса облака ТВС в пределах воспламенения (между $C_{вкпр}$ и $C_{нкпр}$).

Максимальная дальность действия УВ определяется соотношением:

$$R_L = R + X_{см} \quad (6)$$

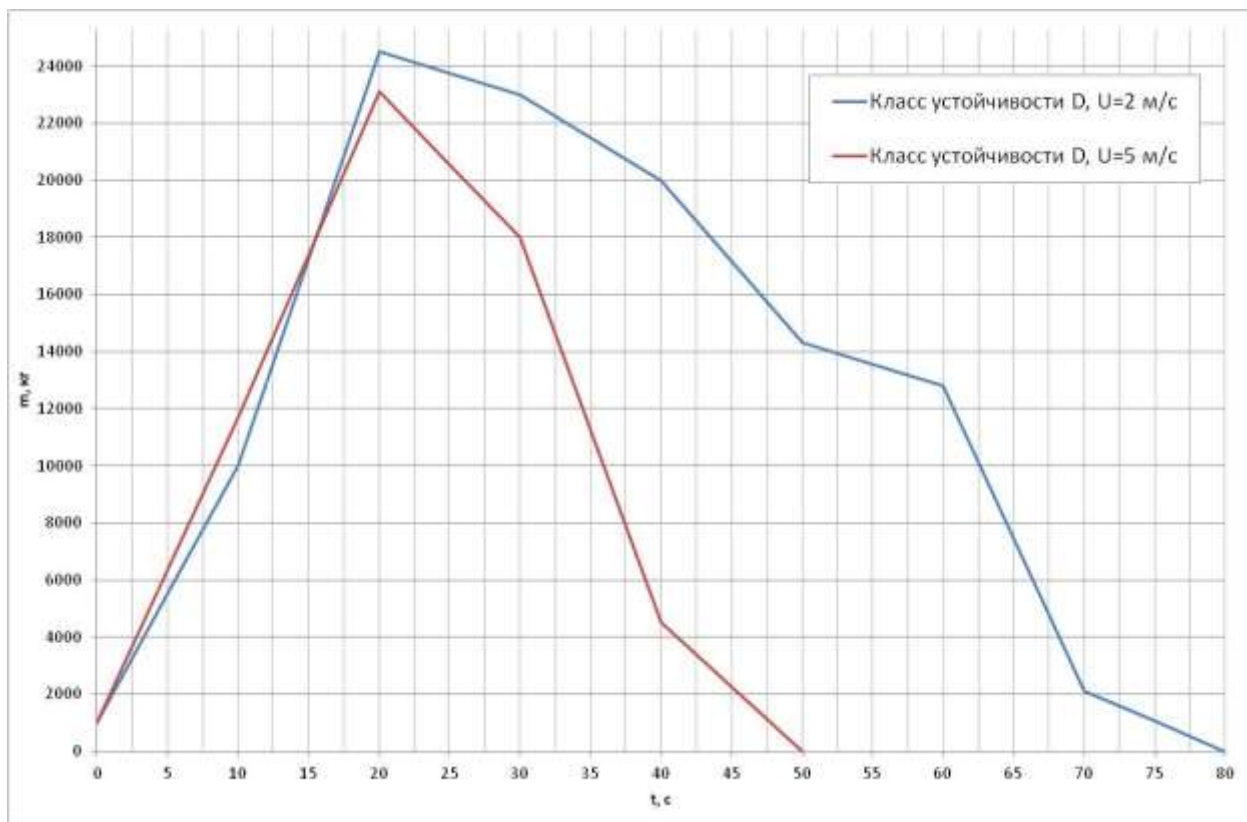


Рис. 4- 2. Примеры изменения массы облака между $S_{ВКПР}$ и $S_{НКПР}$ при дрейфе в условиях изотермии со скоростями ветра 2 и 5 м/с

Таблица 4- 4

Характеристика расчетного сценария с полным разрушением колонны Спр при дрейфе облака ТВС и последствий его взрыва в дефлаграционном режиме (мгновенный выброс 84.9 т смеси углеводородов с температурой минус 11°C)

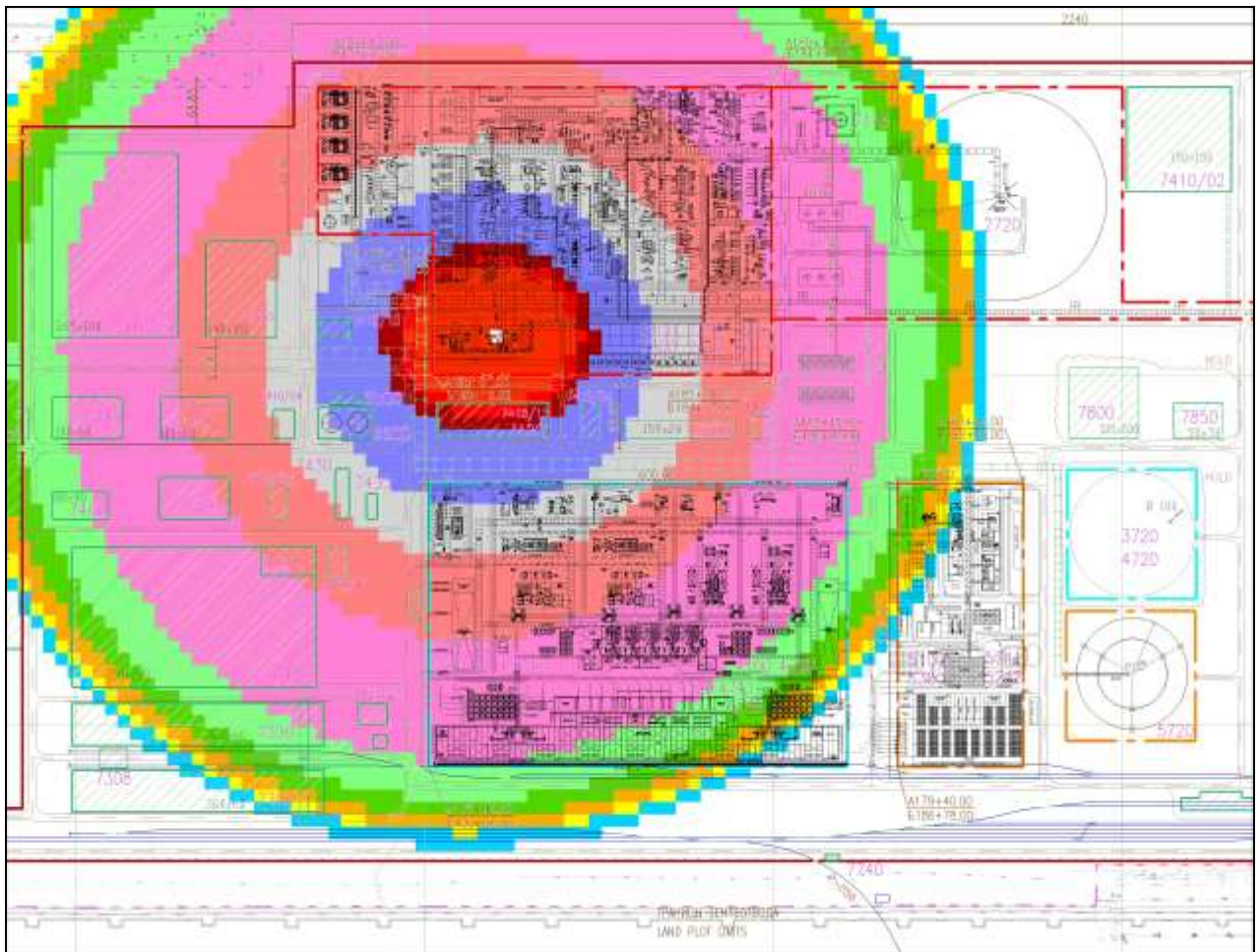
К	U	L-	L	M, кг	Xсм	Радиус зоны разрушения R (ΔP_f), м					
						100	53	28	12	3	20
У	м/с	м	м		м	кПа	кПа	кПа	кПа	кПа	кПа
F	1	284	439	27500	78	158	221	321	573	2620	398
F	5	41	485	25900	222	155	216	314	562	2568	390
F	10	24	593	20000	285	142	198	288	515	2356	358
E	1	238	386	27100	74	157	220	319	570	2607	396
E	5	38	400	25400	181	154	215	312	558	2551	388
E	10	24	483	20400	230	143	200	290	519	2371	360
C	1	206	344	26300	69	155	217	316	565	2581	392
B	1	177	288	25500	56	154	215	313	559	2555	388
A	1	131	210	24800	40	152	213	310	554	2531	385

Характеристика расчетного сценария С5н при дрейфе облака ТВС и последствий его взрыва в дефлаграционном режиме (скорость выброса – 175 кг/с с температурой минус 11°С)

КУ	U м/с	L м	L м	M, кг	Xсм м	Радиус зоны разрушения R (ΔPф), м					
						100 кПа	53 кПа	28 кПа	12 кПа	3 кПа	20 кПа
F	1	0	201	18069	101	137	192	279	498	2277	346
F	2	0	162	7634	81	103	144	209	374	1709	260
F	5	0	113	2022	57	66	92	134	240	1097	167
F	10	0	88	733	44	47	66	96	171	783	119
E	1	0	136	9895	68	112	157	228	408	1863	283
E	5	0	75	955	38	51	72	105	187	855	130
E	10	0	62	376	31	38	53	77	137	626	95
D	1	0	126	7446	63	102	143	207	371	1695	258
D	5	0	71	734	36	47	66	96	171	783	119
D	10	0	61	302	31	35	49	71	127	582	88
A	1	0	29	1356	15	58	81	118	210	961	146
A	5	0	20	182	10	30	41	60	108	492	75
A	10	0	19	86	10	23	32	47	84	383	58

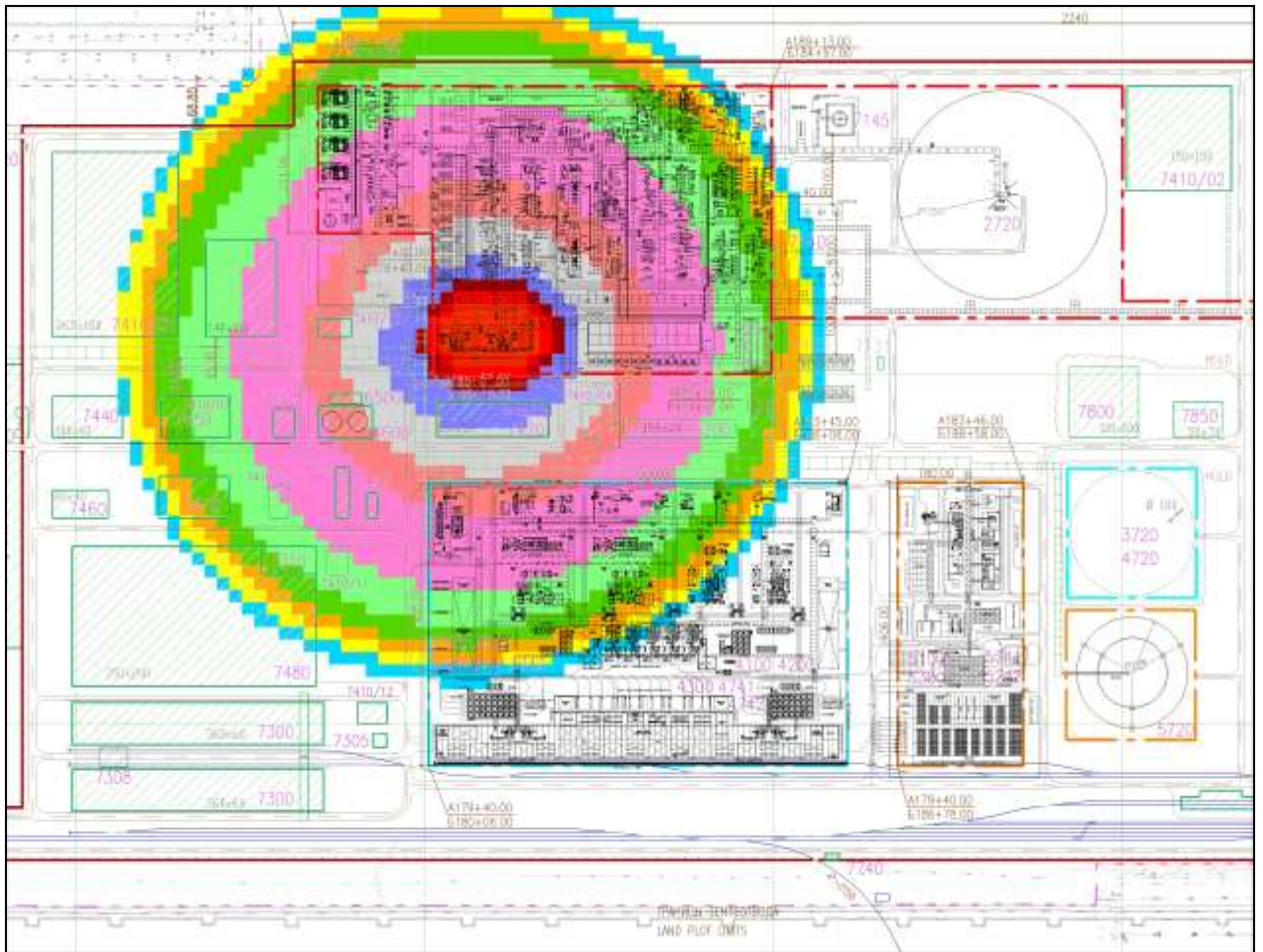
Ниже на рис.4- 3. – рис.4- 4. представлены территориальные распределения потенциального риска разрушения зданий $R_{рзи}^{\Delta P_{\phi}}(x, y)$ (частоты превышения заданной величины ΔP_ф) для различных точек территории от аварий на опасном оборудовании площадки деэтанализатора.

Суммирование полей риска с учетом частот аварий на всех установках и трубопроводах объекта представлено на рис.4- 5.



$10^{-3} \cdot 10^{-5}$ $3 \cdot 10^{-5}$ $10^{-3} \cdot 10^{-6}$ $3 \cdot 10^{-6}$ $10^{-3} \cdot 10^{-7}$ $3 \cdot 10^{-7}$ $10^{-3} \cdot 10^{-8}$ $3 \cdot 10^{-8}$ $10^{-3} \cdot 10^{-9}$ $3 \cdot 10^{-9}$ $10^{-3} \cdot 10^{-10}$ 1/год

Рис. 4-3. Территориальное распределение потенциального риска разрушения зданий при $\Delta P_{\text{ф}} = 12$ кПа при авариях на деэтанализаторе со взрывом облака ТВС



$10^{-3} \cdot 10^{-5}$ $3 \cdot 10^{-5}$ $10^{-3} \cdot 10^{-6}$ $3 \cdot 10^{-6}$ $10^{-3} \cdot 10^{-7}$ $3 \cdot 10^{-7}$ $10^{-3} \cdot 10^{-8}$ $3 \cdot 10^{-8}$ $10^{-3} \cdot 10^{-9}$ $3 \cdot 10^{-9}$ $10^{-3} \cdot 10^{-10}$ 1/год

Рис. 4- 4. Территориальное распределение потенциального риска разрушения зданий при $\Delta P_{\text{ф}} = 28$ кПа, при авариях на деэтанализаторе со взрывом облака ТВС

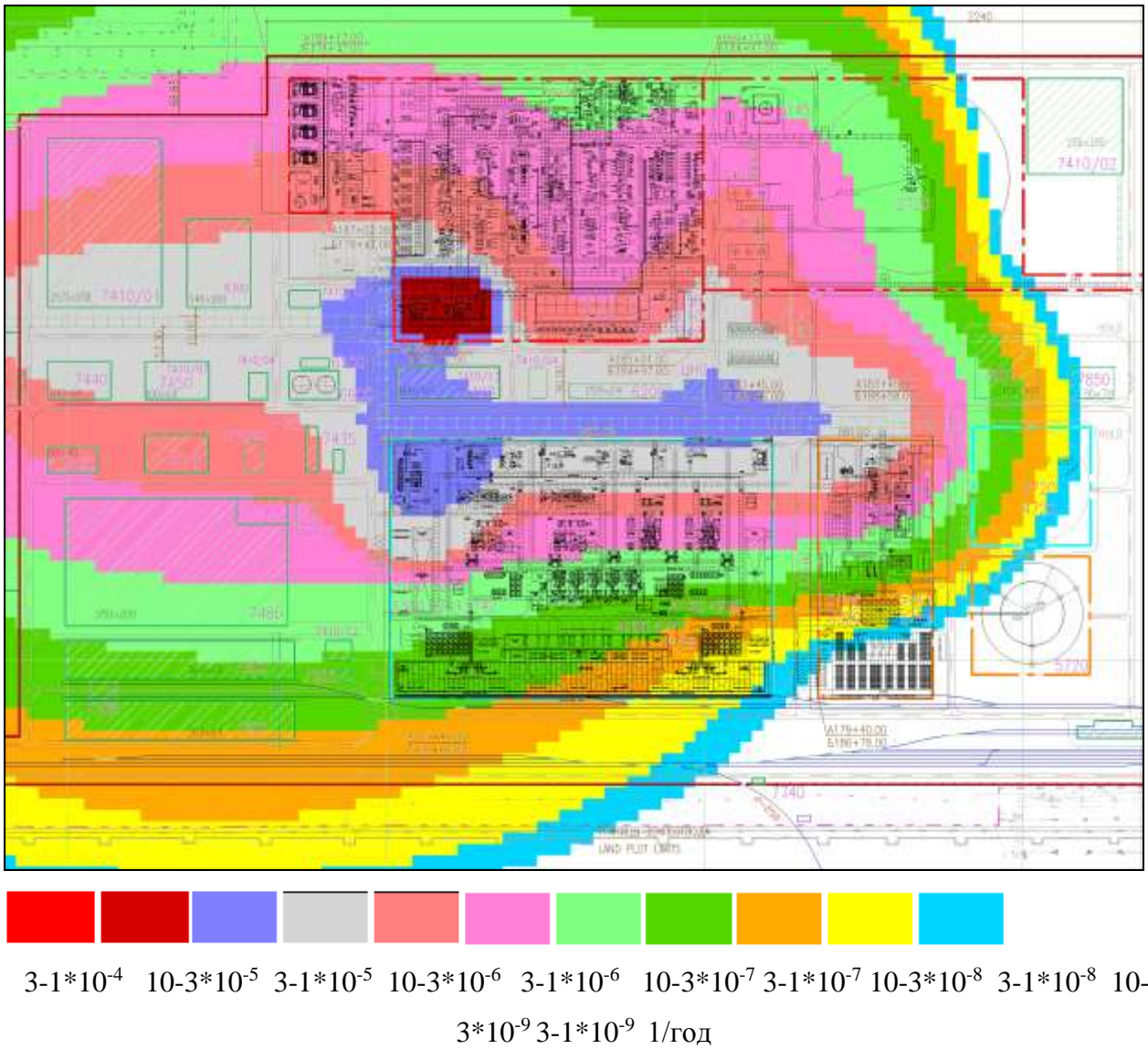


Рис. 4- 5. Территориальное распределение потенциального риска разрушения зданий при $\Delta P_{\text{ф}} = 28$ кПа, при авариях на всех установках и системе трубопроводов со взрывом облака ТВС.

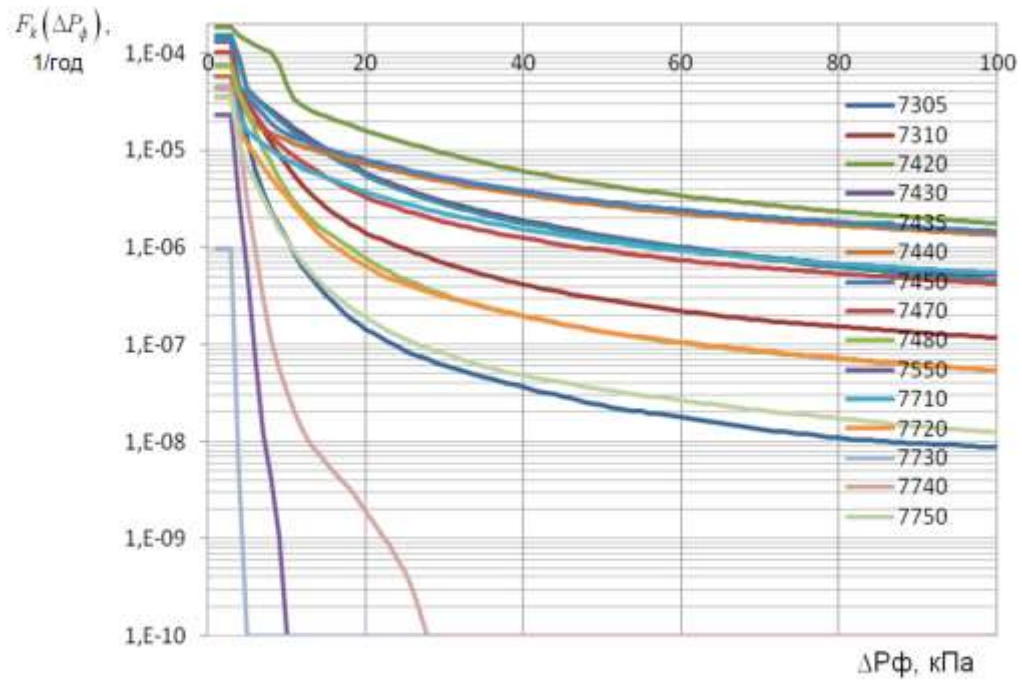


Рис. 4- 6. Зависимости частоты F_k превышения избыточного давления ΔP_{ϕ} на фронте ударной волны для различных зданий от величины ΔP_{ϕ} (k – титул здания)

Результаты оценки показателей риска разрушения различных зданий с учетом их удаленности от источников аварии и проектного давления $R_{пр}$ представлены в табл. 4- 6 и на рис.4- 6.

Таблица 4- 6

Наименование здания	Расчет ΔP_{ϕ} по «тротиловому эквиваленту», кПа	Расчетное проектное давление $R_{пр}$, кПа	$R_{рзи}^k$, 1/год
Здание управления контейнерной площадкой	23	5	$1,36 \cdot 10^{-5}$
Склад реагентов	25	5	$3,14 \cdot 10^{-5}$
Операторная	44	45	$5,11 \cdot 10^{-6}$
Анализаторная	25	10	$1,95 \cdot 10^{-5}$
Административное здание с автостоянкой	22	5	$2,39 \cdot 10^{-5}$
Здание бытовок	25	5	$3,52 \cdot 10^{-5}$
Центральная проходная с КПП и автостоянкой	20	5	$1,59 \cdot 10^{-5}$

Из результатов расчетов видно, что для всех зданий критерий частоты превышения расчетного проектного давления $R_{пр}$ ниже 10^{-4} в год, что указывает на обоснованность принятых проектных решений по размещению и устойчивости зданий к ударной волне.
